

Sviluppo di un portale online per il monitoraggio della radiazione cosmica e dell'attività solare

Presentatore:

David Pelosi

Istituti:

- Dipartimento di Fisica e Geologia, Università di Perugia
- Istituto Nazionale di Fisica Nucleare INFN Sezione di Perugia

Autori:

Pelosi D.

Tomassetti N.

Duranti M.

Introduzione

- Il flusso dei raggi cosmici nell'eliosfera è soggetto a variazioni temporali causate dal ciclo solare (modulazione solare).
- Dati di interesse:
 - dati solari e interplanetari (riflettono il ciclo solare e le condizioni dell'eliosfera);
 - **misure di raggi cosmici** a varie epoche (forniscono la variazione del flusso nel tempo).
- Obiettivi:
 - sviluppo del portale online Heliophysics Virtual Observatory (HVO);
 - implementazione **modello real-time** per calcolo del flusso di raggi cosmici nello spazio.

- Applicazioni:
 - valutazione rischi di radiazione per satelliti ed esperimenti;
 - radioprotezione astronauti;
 - programmazione missioni spaziali a lungo termine (**Luna, Marte**).



Dati solari e interplanetari

Macchie Solari (sunspots):

Sunspot Number (SSN)

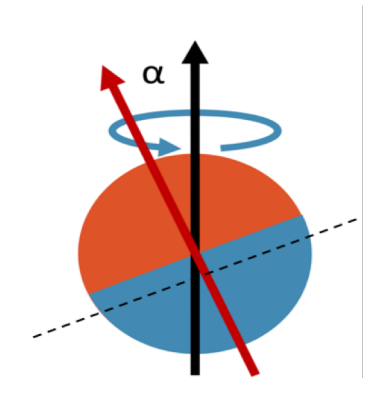
International sunspot number: R = k (10 g + n)

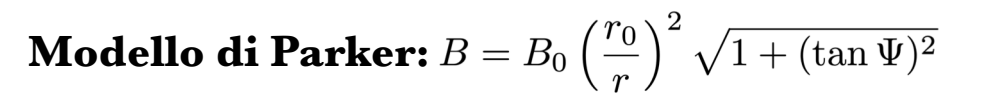
Vento Solare

- velocità radiale (V);
- densità protonica;

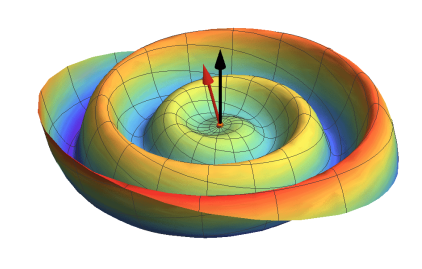
Campo Magnetico Solare (B):

- intensità e direzione del campo ai poli (N/S);
- angolo di tilt dell'asse magnetico α : $10^{\circ} 80^{\circ}$;





B inverte la propria polarità ogni 11 anni.

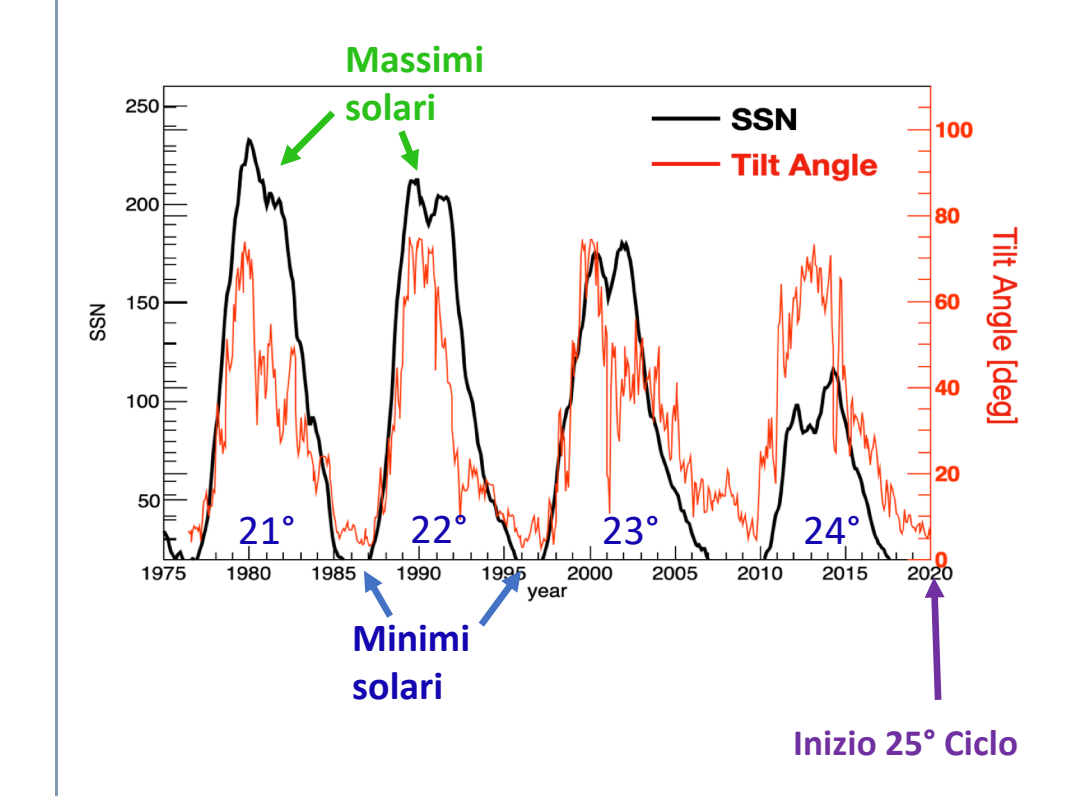


Ciclo solare

indicatori attività solare:

- SSN(t)
- $\alpha(t)$

Periodo ciclo solare ≈ 11 anni



Dati di radiazione carica

Raggi Cosmici primari

Composizione:

- protoni ~ 90%
- He $\sim 9\%$
- C, O, Fe $\sim 1\%$
- antimateria < 0.1%

Origine:

- supernovae : $E \approx 10^{15} eV$
- AGN, GRB e magnetar : $E > 10^{15} \text{ eV}$
- origine Solare (SEP) : $E < 10^8 \text{ eV}$

Flusso dei raggi cosmici:

$$J(E) = \frac{dN}{dE \cdot dt \cdot dS \cdot d\Omega}$$

Raggi Cosmici secondari

Composizione:

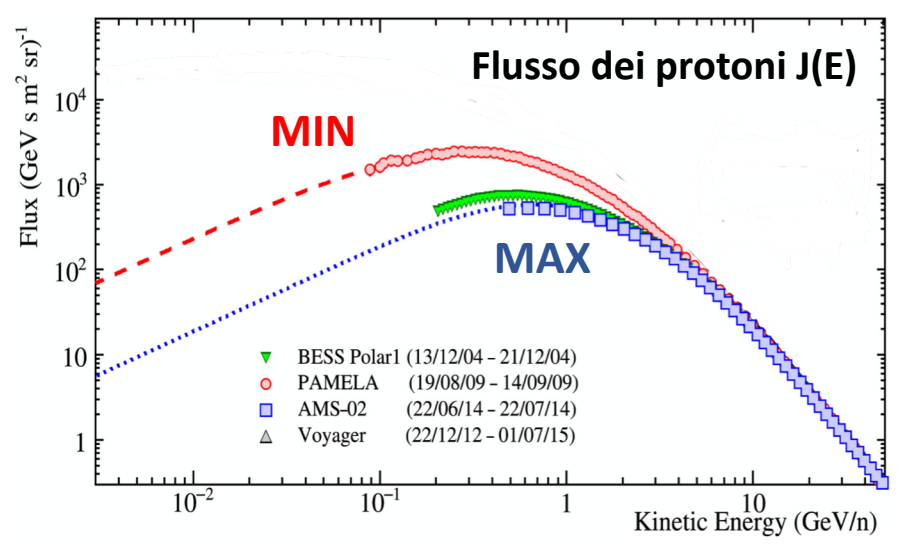
- pioni;
- kaoni;
- elettroni;
- muoni.

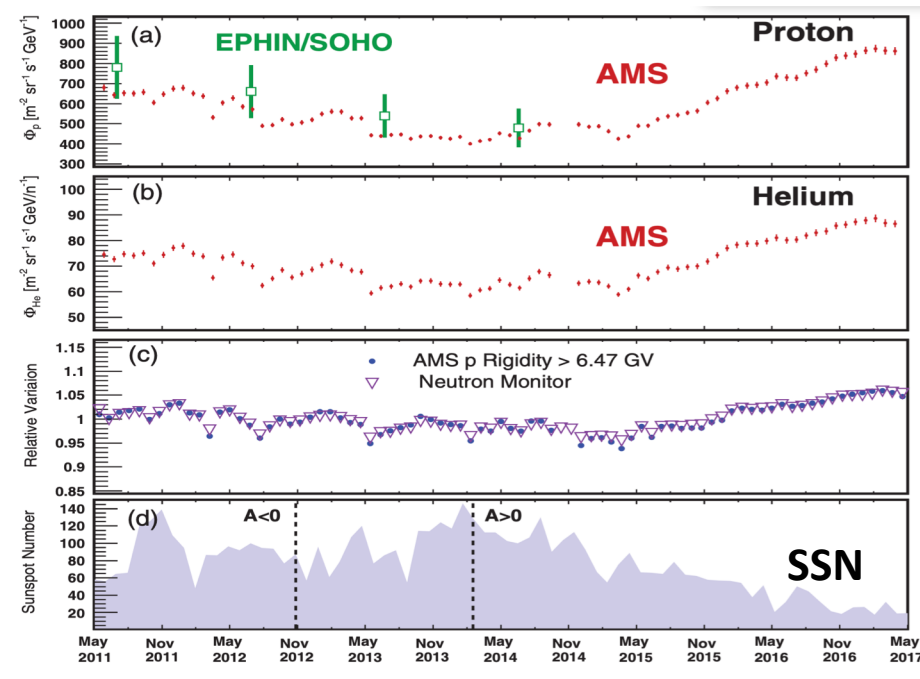
Origine:

• interazione RC primari e atmosfera terrestre.

Modulazione solare:

anticorrelazione tra flusso di RC e attività solare.





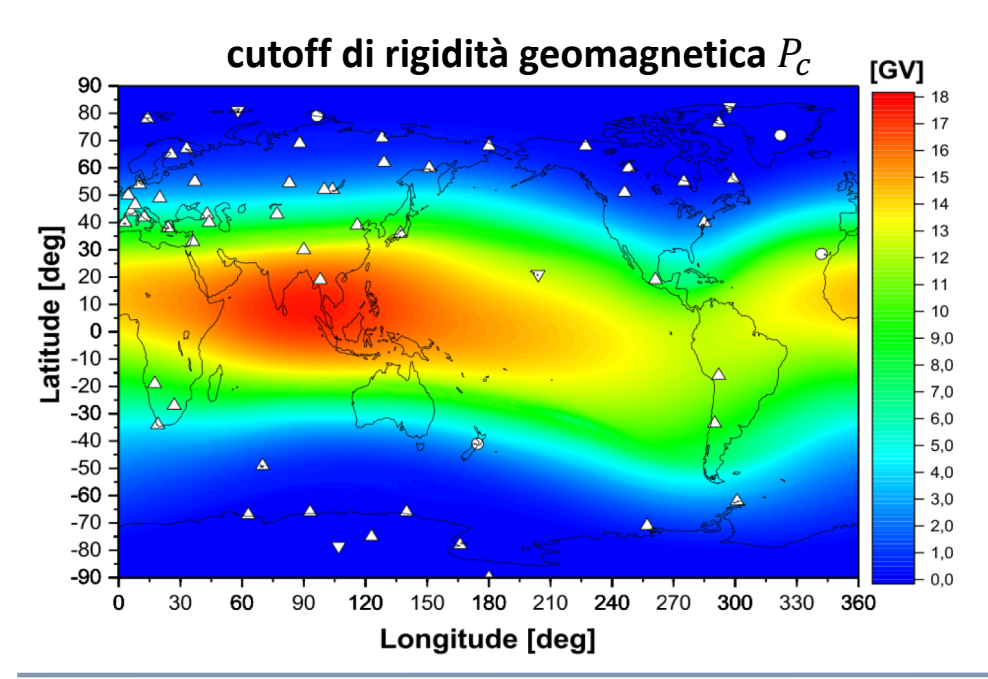
Neutron Monitor (NM)

Tasso di conteggio R(t):
$$R^{d}(t) = \sum_{i} \int_{E_{ci}}^{\infty} J_{i}(E, t) Y_{i}^{d}(E) dE$$
[1]

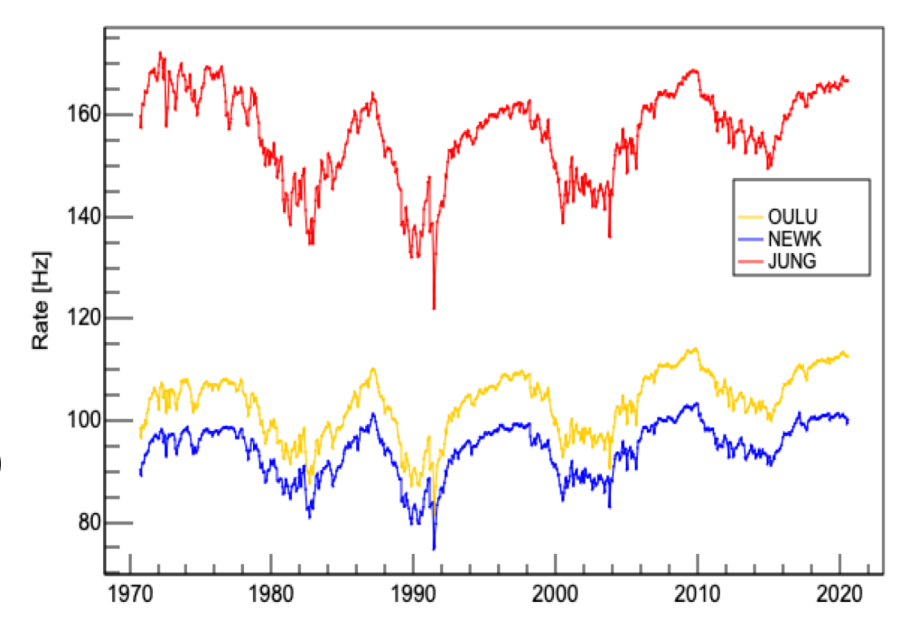
- : specie di RC (90% protoni)
- E_c : dipende dal campo geomagnetico
- *Y*^d: funzione di risposta del rilevatore

Dipendono dalla stazione NM

La variazione temporale di R(t) riflette la variazione del flusso di RC: J(E, t)



Neutron Monitor Rate Time Resolution: 1 Month



- Oulu, Finland
- Newark, New Jersey (USA)
- Jungfraujoch, Switzerland

Obiettivi

Determinare la variazione del flusso di raggi cosmici nello spazio vicino J(E, t) usando i tassi di conteggio R(t) dei neutron monitor

Il modello Force-Field

- Soluzione approssimata e analitica dell'equazione di Parker
- Relazione tra flusso modulato in eliosfera e flusso LIS

 J_{LIS} : flusso di RC fuori dall'eliosfera.

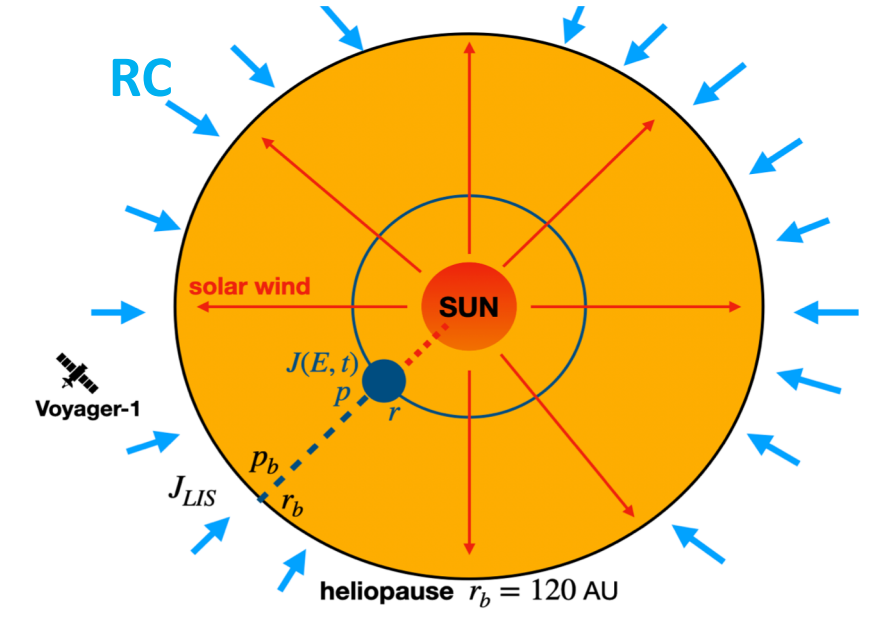
$$J(E) = \frac{(E + M_p)^2 - M_p^2}{(E + M_p + \frac{Z}{A}\phi(t))^2 - M_p^2} J_{lis}(E + \frac{Z}{A}\phi(t))$$
[2]

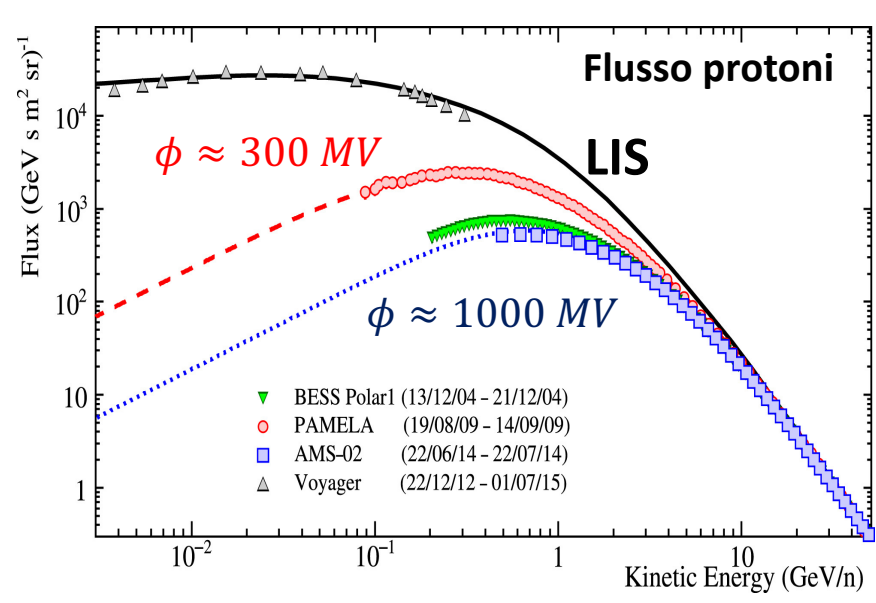
per ogni specie di RC (numero atomico Z e numero di massa A)

- ϕ potenziale di modulazione,
- ϕ interpretato come la **perdita media di momento** delle particelle.
- J_{LIS} è parametrizzato dai recenti dati di Voyager-1 e AMS-02, seguendo C. Corti et al., ApJ 2016
- ϕ varia con il ciclo solare (e quindi nel tempo), tra 300 e 1200 MV

Obiettivo

• Determinare la serie temporale di $\phi(t)$





Determinazione di ϕ

Inserendo [2] in [1], si ottiene:

$$R_{st}^{d}(t) = \sum_{i} \int_{E_{ci}}^{\infty} \frac{(E + M_{p})^{2} - M_{p}^{2}}{(E + M_{p} + \frac{Z}{A}\phi(t))^{2} - M_{p}^{2}} J_{lis}(E + \frac{Z}{A}\phi(t)) Y_{i}^{d}(E) dE \quad [3]$$

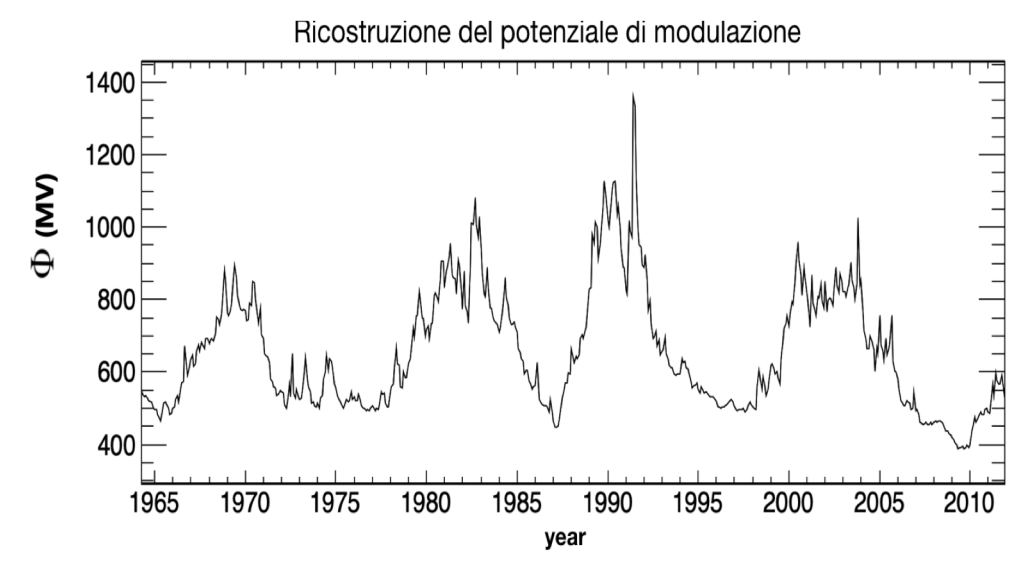
Dai conteggi di NM in approssimazione Force-Field si ricava $\phi(t)$:

- Determinando Y^d (non nota a priori)
- Invertendo la [2]
- ✓ <u>Usiamo un approccio efficace</u>
- Ricostruzione di ϕ dal 1964 al 2011, da **Usoskin et al. 2011**
- Assunzione che Y(E) si è mantenuta costante nel tempo dopo il 2011

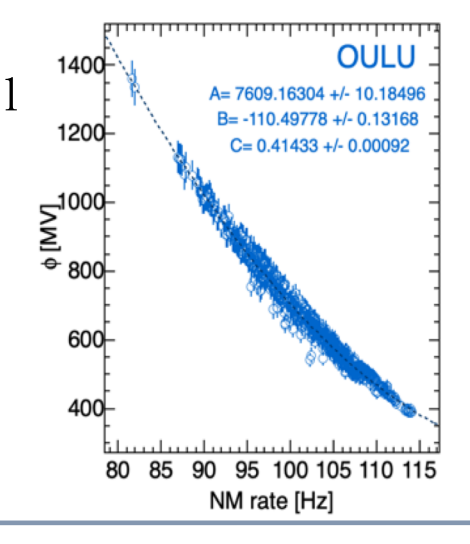
I dati di $\phi(t)$ e R(t), valutati in un intervallo temporale comune, sono ben descritti dalla relazione:

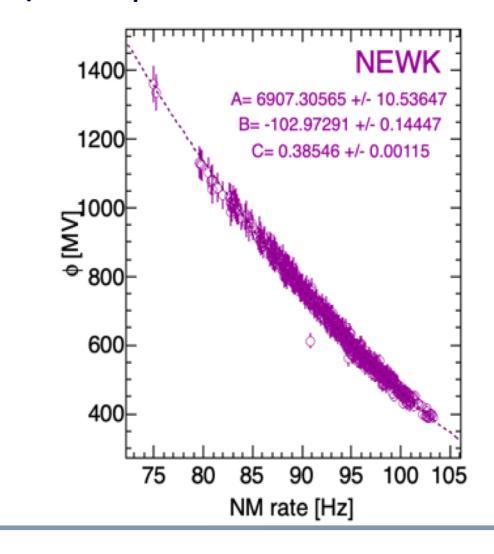
$$\phi(R(t)) = A + B \cdot R(t) + C \cdot R(t)^2$$

Ricostruzione di φ(t) di Usoskin et al. 2011



Diagrammi di dispersione φ vs R per NEWK e OULU





Calcolo "real-time" del flusso di RC

Procedura (per ogni stazione di NM)

- calcolo best fit parameters A, B e C;
- $R(t) \longrightarrow \phi(t)$;
- si ottiene J(E,t)

$$t \longrightarrow R(t) \longrightarrow \phi(t) \longrightarrow J(E,t)$$

Applicazioni

- ad ogni epoca (per cui si ha R(t));
- per ogni energia E;
- per ogni specie di RC (Z,A)

In Figura: usando i rates R(t) della stazione di OULU, il flusso dei protoni J(E,t) è stato calcolato in due epoche t:

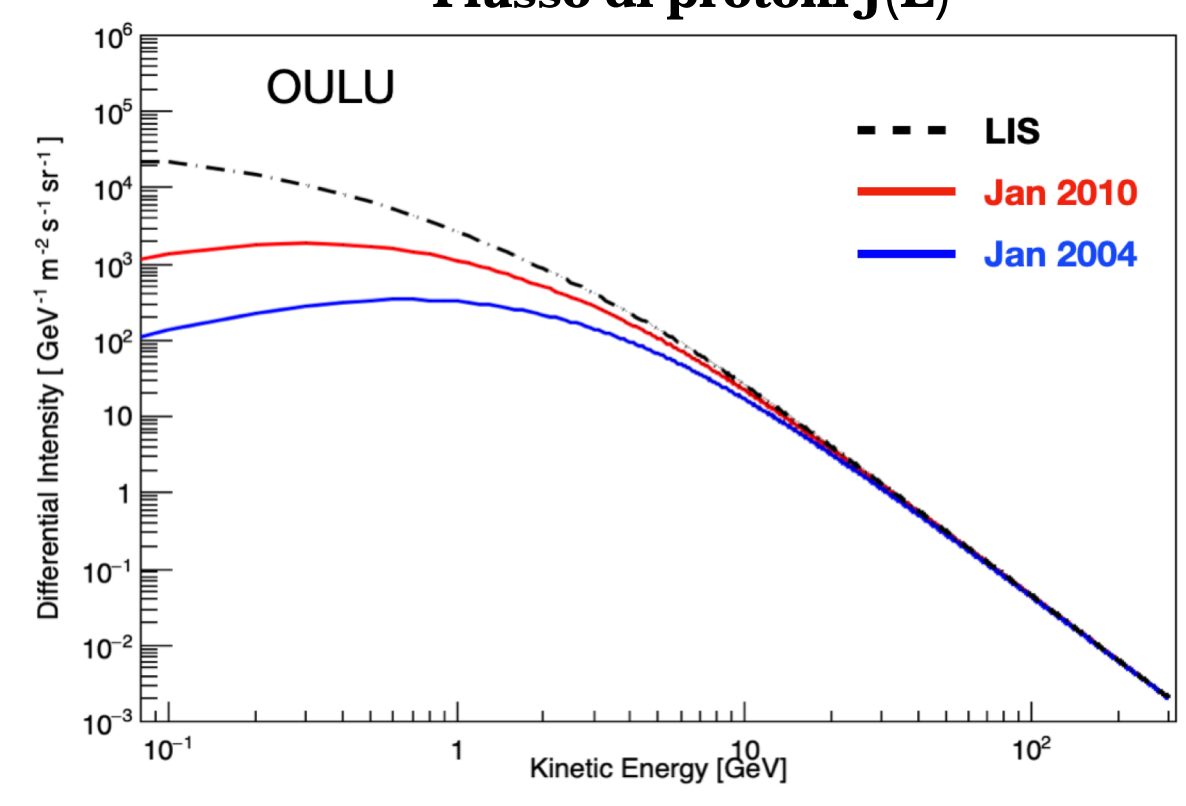
Gennaio 2010, nel minimo solare (SSN basso, flusso alto) Gennaio 2004, nel massimo solare (SSN alto, flusso debole)

Usando altre stazioni si ottengono risultati compatibili

Stima "real-time" del flusso di protoni in alta atmosfera

$$J^{p}(E,t) = \frac{(E+M_{p})^{2} - M_{p}^{2}}{(E+M_{p}+\phi(t))^{2} - M_{p}^{2}} J_{\text{lis}}^{p}(E+\phi(t)),$$

Flusso di protoni J(E)



Heliophysics Virtual Observatory (HVO)

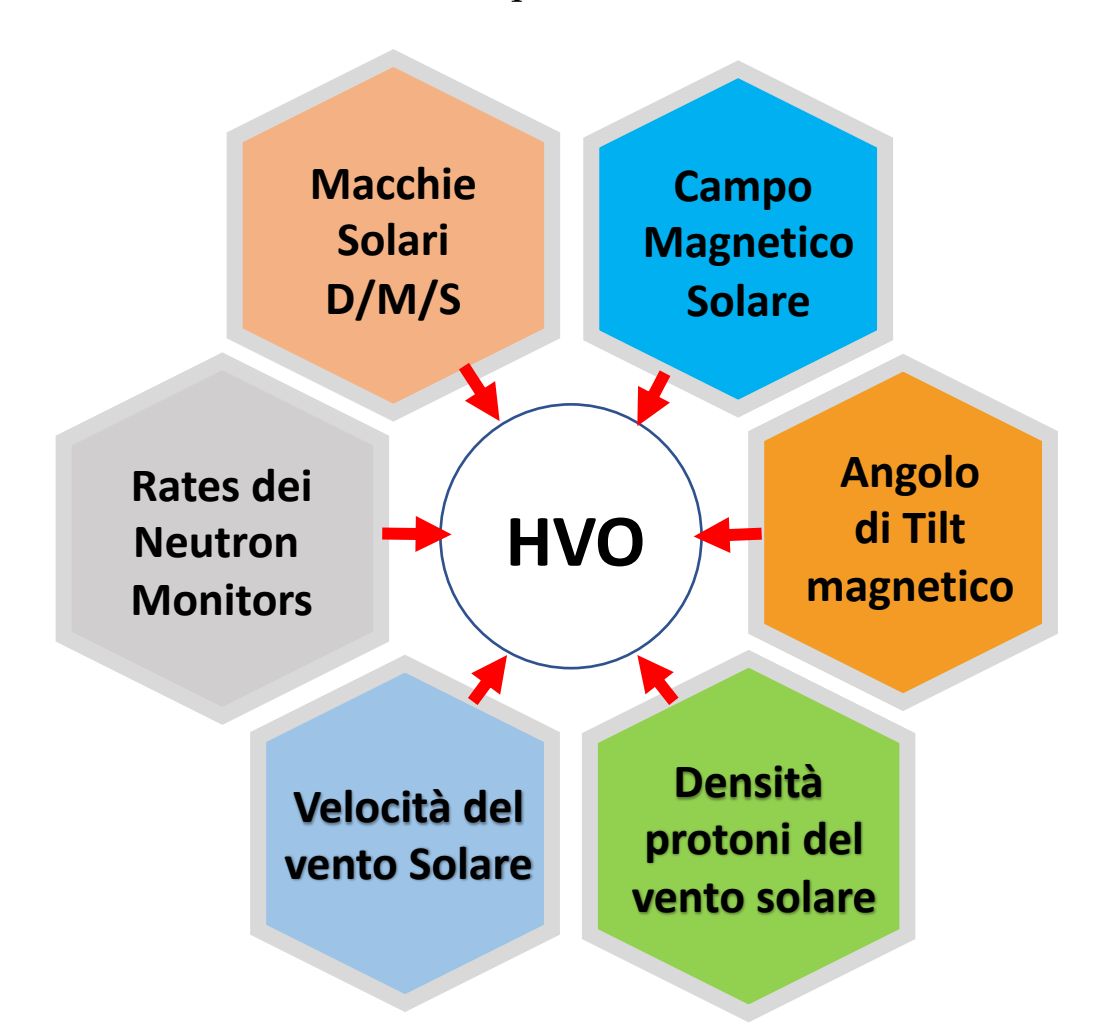
HVO è un portale online che raccoglie i dati di attività solare e radiazione carica da diversi database online. Archivia 50 anni di dati e si aggiorna a cadenza giornaliera. HVO inoltre implementa il modello di calcolo real-time del flusso di raggi cosmici.

<u>Funzionalità</u>

- Estrazione
- Visualizzazione
- Aggiornamento
- Download

HVO è implementato su una macchina virtuale (VM) installata presso la server farm INFN dello **Space Science Data Center SSDC/ASI.**

https://crisp.unipg.it/hvo





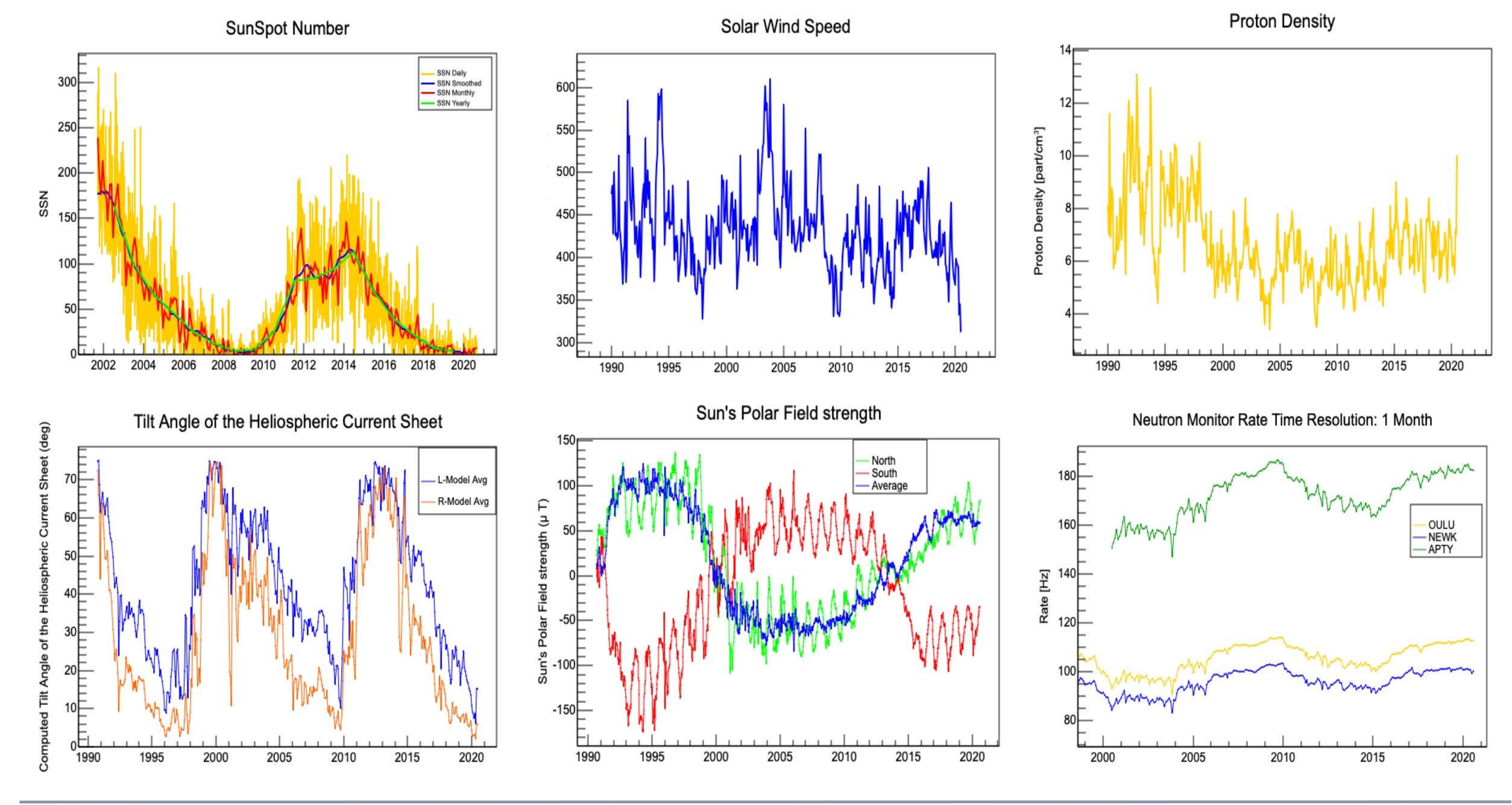




Implementazione

- HTML
- JSROOT (JavascriptROOT)
- Python
- PHP
- C++







10

Implementazione Modelllo Force Field

Interfaccia per calcolo del flusso "real-time"

- > Selezione della stazione NM
- > Impostazione dell' energia di riferimento
- ➤ Selezione dell'intervallo temporale

$$J^p(E,t) = rac{(E+M_p)^2 - M_p^2}{(E+M_p+\phi(t))^2 - M_p^2} J_{ ext{lis}}^p(E+\phi(t)),$$

Time Resolution of Neutron Monitor data 1 Month

Select Energy for Proton Flux Model [GeV]: 1

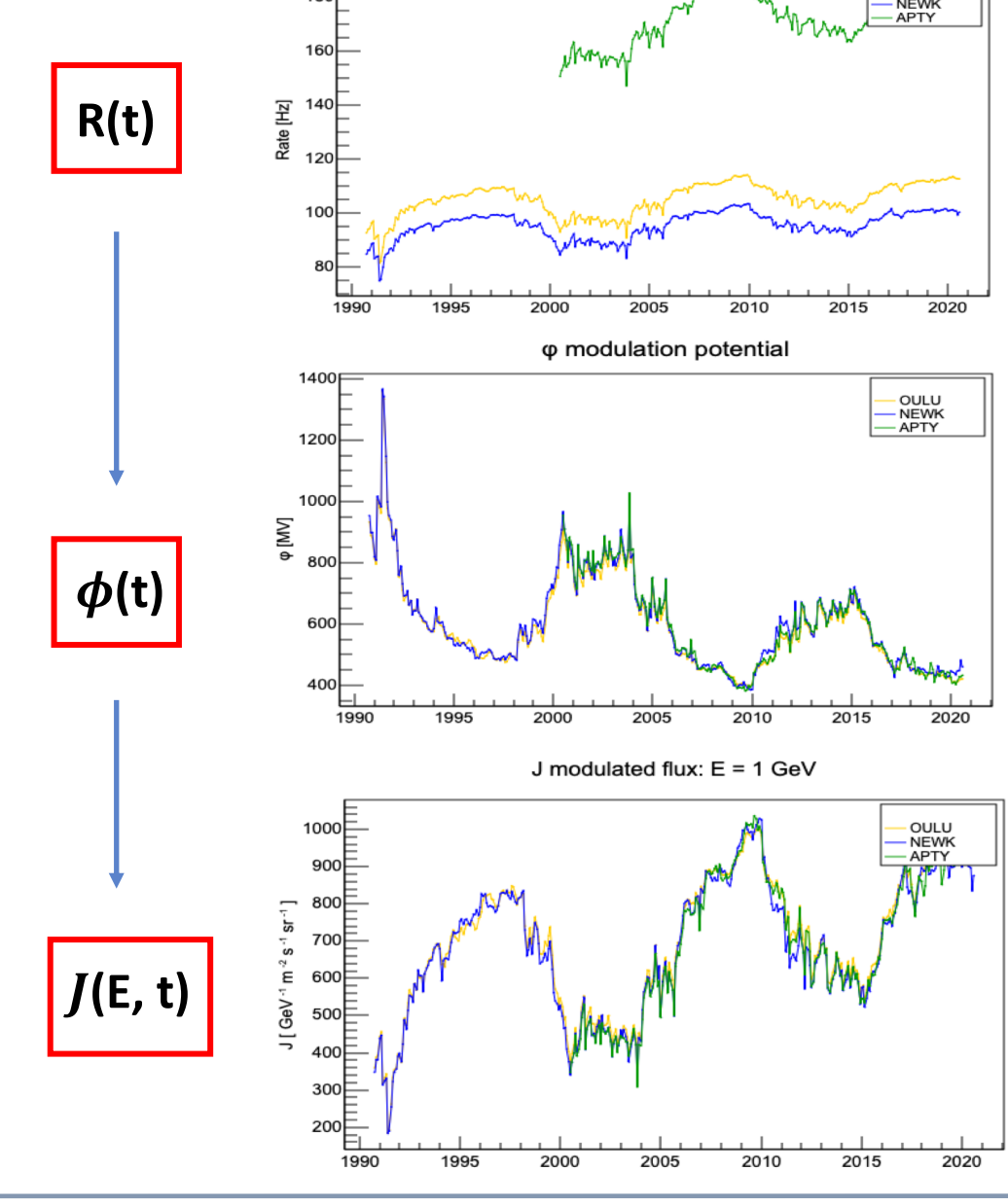
Select date range manually

Start Date 1990 🗘 9 🗘 15 🗘

End Date 2020 🗘 9 🗘 15 🗘

Submit

I rate dei NM sono estratti da Neutron Monitor Database NMDB



Neutron Monitor Rate Time Resolution: 1 Month

Conclusioni

È stato implementato il portale **HVO**:

- ✓ aggrega dati di attività solare e radiazione carica;
- ✓ archivia 50 anni di dati e si aggiorna a cadenza giornaliera;
- ✓ modello efficace per il calcolo real time del flusso di RC (nowcasting).



https://crisp.unipg.it/hvo

Possibili sviluppi di HVO

Tecnici

- bilanciamento del carico;
- applicazioni di Content Management System;
- esportabilità dell'infrastruttura.

<u>Scientifici</u>

- ulteriori dati (SEP, CME) e monitoraggio magnetosfera;
- implementazione di modelli numerici più precisi e sofisticati;
- estensione del calcolo "real time" del flusso ad altre specie cariche di raggi cosmici e in altre zone dell'eliosfera;
- localizzazione e tracking di satelliti e sonde spaziali;
- · analisi delle correlazioni tra i vari dati solari/RC.

